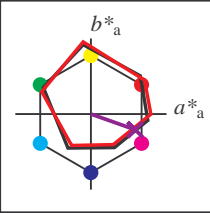


Ein- und Ausgabe: Offset-Reflektiv-System ORS18a für relativen CIELAB-Bunton $h_{ab,a,rel} = h_{ab}/360 = 340/360 = 0.94$

$H^*_d = B25R_d$

Daten für jede Geräte- (d) oder Elementarfarbe (e):

HIC^*_d
 Bunttext für die Farben dieser Seite:
 $H^*_d = B25R_d$
 Dreiecks-Helligkeit T^*



ORS20a; adaptierte CIELAB-Daten

Name	$L^*=L^*_a$	a^*_a	b^*_a	$C^*_{ab,a}$	$h^*_{ab,a}$
R _{d, Ma}	45.4	70.9	44.8	83.9	32
Y _{d, Ma}	87.8	-10.2	95.4	96.0	96
G _{d, Ma}	50.0	-65.0	29.6	71.4	155
C _{d, Ma}	56.8	-25.5	-41.5	48.7	238
B _{d, Ma}	25.0	29.5	-40.4	50.0	306
M _{d, Ma}	46.1	79.3	-0.2	79.3	359
N _{d, Ma}	24.3	0.0	0.0	0.0	0
W _{d, Ma}	95.6	0.0	0.0	0.0	0
R _{d, CIE}	39.9	58.7	27.9	65.0	25
Y _{d, CIE}	81.2	-2.8	71.5	71.6	92
G _{d, CIE}	52.2	-42.4	13.6	44.5	162
B _{d, CIE}	30.5	1.4	-46.4	46.4	271

Daten für Maximalfarbe (Ma):

$LabCh^*_{d, Ma}$: 35 58 -20 62 340
 $HIC^*_{d, Ma}$: B25R_100_100d
 $rgbic^*_{d, Ma}$:
 0.5 0.0 1.0 1.0 1.0

ORS20a; adaptierte CIELAB-Daten

H^*_d	$L^*=L^*_a$	a^*_a	b^*_a	$C^*_{ab,a}$	$h^*_{ab,a}$
R00Y_100_100 _d	45.4	70.9	44.8	83.9	32
R25Y_100_100 _d	53.0	53.4	54.8	76.5	45
R50Y_100_100 _d	64.9	28.9	68.6	74.5	67
R75Y_100_100 _d	78.6	4.3	84.7	84.8	87
Y00G_100_100 _d	87.8	-10.2	95.4	96.0	96
Y25G_100_100 _d	81.2	-17.0	84.3	86.0	101
Y50G_100_100 _d	70.6	-29.7	66.5	72.8	114
Y75G_100_100 _d	57.9	-48.3	45.8	66.5	136
G00B_100_100 _d	50.0	-65.0	29.6	71.4	155
G25B_100_100 _d	52.9	-48.6	-8.0	49.3	189
G50B_100_100 _d	56.8	-25.5	-41.5	48.7	238
G75B_100_100 _d	41.7	-1.2	-40.6	40.6	268
B00R_100_100 _d	25.0	29.5	-40.4	50.0	306
B25R_100_100 _d	35.6	58.6	-20.7	62.1	340
B50R_100_100 _d	46.1	79.3	-0.2	79.3	359
B75R_100_100 _d	45.9	74.2	21.1	77.1	15

Dreiecks-Helligkeit T^*
 %Umfang $u^*_{rel} = 92$
 %Regularität $g^*_H, rel = 57$
 $g^*_C, rel = 58$

